

# Teoría de la Información Cuántica

## Práctica 4 - Año 2020

BEAUCAMP, Jean Yves

### 1. Evolución de sistemas cuánticos abiertos

1. Dado un estado inicial producto  $\rho_{AB} = \rho_A \otimes \rho_B$  de un sistema bipartito, y un operador evolución  $U_{AB} = \exp\{-iH_{AB}t\}$ , el estado reducido final  $\rho'_A$  estará dado por

$$\rho'_A = \text{Tr}_B U_{AB} \rho_A \otimes \rho_B U_{AB}^\dagger = \sum_j \langle j|_B U_{AB} \rho_A \otimes \rho_B U_{AB}^\dagger |j\rangle_B.$$

Suponiendo un estado mezcla general para  $B$ , dado por  $\rho_B = \sum_l |l\rangle\langle l|_B P_l$ , entonces

$$\begin{aligned} \rho'_A &= \sum_j \langle j|_B U_{AB} \rho_A \otimes \rho_B U_{AB}^\dagger |j\rangle_B \\ &= \sum_{j,k} \underbrace{\langle j|_B U_{AB} |l\rangle_B}_{K_{jl}} \sqrt{P_l} \rho_A \underbrace{\sqrt{P_l} \langle l|_B U_{AB}^\dagger |j\rangle_B}_{K_{jl}^\dagger} \\ &= \sum_{j,k} K_{jl} \rho_A K_{jl}^\dagger. \end{aligned}$$

Luego, los operadores de Kraus

$$K_{jl} = \langle j|_B U_{AB} |l\rangle_B \sqrt{P_l} \quad (1)$$

darán la evolución del subsistema  $A$ . Además,

$$\begin{aligned} \sum_{j,l} K_{jl}^\dagger K_{jl} &= \sum_{j,l} \sqrt{P_l} \langle l|_B \rho_B U_{AB}^\dagger |j\rangle_B \langle j|_B U_{AB} |l\rangle_B \sqrt{P_l} = \sum_l P_l \langle l|_B U_{AB}^\dagger U_{AB} |l\rangle_B \\ &= \sum_l P_l \langle l|l\rangle_B \mathbb{1}_A \\ &= \sum_l P_l \mathbb{1}_A \\ &= \mathbb{1}_A. \end{aligned}$$

En el caso particular en que se trata de un estado inicial puro  $\rho_B = |\psi\rangle\langle\psi|$ , entonces los operadores de Kraus tomarán la forma explícita

$$E_\alpha = \langle \alpha|_B U_{AB} |\psi\rangle_B.$$

2. a) Para el caso de una evolución por un operador Control-NOT, dada por  $U_{AB} = |0\rangle\langle 0| \otimes \mathbb{1} + |1\rangle\langle 1| \otimes X$ , aplicada a un estado producto de dos qubits  $\rho_{AB} = \rho_A \otimes |\psi\rangle\langle\psi|_B$ , el estado parcial final de el subsistema  $A$  será

$$\begin{aligned} \rho'_{AB} &= U_{AB} \rho_{AB} U_{AB}^\dagger = |0\rangle\langle 0| \rho_A |0\rangle\langle 0| \otimes |\psi\rangle\langle\psi|_B + |0\rangle\langle 0| \rho_A |1\rangle\langle 1| \otimes X |\psi\rangle\langle\psi|_B \\ &\quad + |1\rangle\langle 1| \rho_A |0\rangle\langle 0| \otimes X |\psi\rangle\langle\psi|_B + |1\rangle\langle 1| \rho_A |1\rangle\langle 1| \otimes X^2 |\psi\rangle\langle\psi|_B \end{aligned}$$

$$\begin{aligned}
&= |0\rangle\langle 0| \rho_A |0\rangle\langle 0| \otimes |\psi\rangle\langle\psi|_B \\
&\quad + |0\rangle\langle 0| \rho_A |1\rangle\langle 1| \otimes X |\psi\rangle\langle\psi|_B \\
&\quad + |1\rangle\langle 1| \rho_A |0\rangle\langle 0| \otimes X |\psi\rangle\langle\psi|_B \\
&\quad + |1\rangle\langle 1| \rho_A |1\rangle\langle 1| \otimes |\psi\rangle\langle\psi|_B.
\end{aligned}$$

Si  $|\psi\rangle_B = \alpha|+\rangle + \beta|-\rangle$ , entonces  $X|\psi\rangle_B = \alpha|+\rangle - \beta|-\rangle$ . Luego,

$$\begin{aligned}
\rho'_A &= \text{Tr}_B \rho'_{AB} = |0\rangle\langle 0| \rho_A |0\rangle\langle 0| \left(|\alpha|^2 + |\beta|^2\right) \\
&\quad + |0\rangle\langle 0| \rho_A |1\rangle\langle 1| \left(|\alpha|^2 - |\beta|^2\right) \\
&\quad + |1\rangle\langle 1| \rho_A |0\rangle\langle 0| \left(|\alpha|^2 - |\beta|^2\right) \\
&\quad + |1\rangle\langle 1| \rho_A |1\rangle\langle 1| \left(|\alpha|^2 + |\beta|^2\right) \\
&= |\alpha|^2 \rho_A + |\beta|^2 Z \rho_A Z,
\end{aligned}$$

utilizando que

$$Z \rho_A Z = \begin{pmatrix} 1 & 0 \\ 0 & -1 \end{pmatrix} \begin{pmatrix} \rho_{00}^A & \rho_{01}^A \\ \rho_{10}^A & \rho_{11}^A \end{pmatrix} \begin{pmatrix} 1 & 0 \\ 0 & -1 \end{pmatrix} = \begin{pmatrix} 1 & 0 \\ 0 & -1 \end{pmatrix} \begin{pmatrix} \rho_{00}^A & -\rho_{01}^A \\ \rho_{10}^A & -\rho_{11}^A \end{pmatrix} = \begin{pmatrix} \rho_{00}^A & -\rho_{01}^A \\ -\rho_{10}^A & \rho_{11}^A \end{pmatrix}.$$

Escribiendo el estado final como

$$\rho'_A = (1-p)\rho_A + pZ\rho_A Z = \begin{pmatrix} \rho_{00}^A & (1-2p)\rho_{01}^A \\ (1-2p)\rho_{10}^A & \rho_{11}^A \end{pmatrix}, \quad (2)$$

podemos identificar  $p = |\beta|^2$  y  $1-p = |\alpha|^2$ , consistente con la condición de normalización de  $|\psi\rangle_B$ . Además, los operadores de Kraus asociados a la evolución no-unitaria serán

$$E_0 = \sqrt{1-p}\mathbb{1}_A = |\alpha|\mathbb{1}_A, \quad E_1 = \sqrt{p}Z = |\beta|Z.$$

Observando la representación matricial del estado  $\rho'_A$  exhibida en (2), interpretamos la evolución del sistema como la disminución de los elementos no-diagonales. Para el estado inicial  $|\psi\rangle_B = \frac{|+\rangle+|-\rangle}{\sqrt{2}} = |0\rangle$ ,  $p = 1/2$  y el sistema presentará decoherencia completa. Así mismo, para  $|\psi\rangle_B = |+\rangle$ ,  $p = 0$  y el subsistema  $A$  no evolucionará, siendo  $\rho'_A = \rho_A$ . La entropía asociada a  $\rho_A$  tenderá solo a aumentar, al estar eliminando información del sistema conforme  $p \rightarrow 1/2$ .

- b) Para un estado inicial producto general  $\rho_{AB} = \rho_A \otimes \rho_B$ , con  $\rho_B = \sum_l P_l |l\rangle\langle l|_B$ , la evolución del subsistema  $A$  estará determinada por los operadores de Kraus (1):

$$K_{jl} = \langle j|U_{AB}|l\rangle_B \sqrt{P_l} = |0\rangle\langle 0|_A \langle j|l\rangle_B \sqrt{P_l} + |1\rangle\langle 1|_A \langle j|X|l\rangle_B \sqrt{P_l}.$$

Suponiendo un sistema de dos qubits, y utilizando la base  $\{|\pm\rangle\}$  para  $|j\rangle$ ,

$$\begin{aligned}
K_{\pm l} &= \langle \pm|U_{AB}|l\rangle_B \sqrt{P_l} = |0\rangle\langle 0|_A \langle \pm|l\rangle_B \sqrt{P_l} + |1\rangle\langle 1|_A \langle \pm|X|l\rangle_B \sqrt{P_l} \\
&= |0\rangle\langle 0|_A \langle \pm|l\rangle_B \sqrt{P_l} \pm |1\rangle\langle 1|_A \langle \pm|l\rangle_B \sqrt{P_l} \\
&= (|0\rangle\langle 0|_A \pm |1\rangle\langle 1|_A) \langle \pm|l\rangle_B \sqrt{P_l}.
\end{aligned}$$

Si  $\rho_B = \mathbb{1}/2$  en la base computacional, entonces

$$\begin{aligned}
K_{jl} &= \langle j|U_{AB}|l\rangle_B \frac{1}{\sqrt{2}} = |0\rangle\langle 0|_A \langle j|l\rangle_B \frac{1}{\sqrt{2}} + |1\rangle\langle 1|_A \langle j|X|l\rangle_B \frac{1}{\sqrt{2}} \\
&= |0\rangle\langle 0|_A \delta_{jl} \frac{1}{\sqrt{2}} + |1\rangle\langle 1|_A (\delta_{j0}\delta_{l1} + \delta_{j1}\delta_{l0}) \frac{1}{\sqrt{2}}
\end{aligned}$$

$$\therefore K_{00} = K_{11} = \frac{1}{\sqrt{2}} |0\rangle\langle 0|_A, \quad K_{01} = K_{10} = \frac{1}{\sqrt{2}} |1\rangle\langle 1|_A.$$

3. Sean los operadores de Kraus  $E_1 = |0\rangle\langle 0| + \sqrt{1-p}|1\rangle\langle 1|$  y  $E_2 = \sqrt{p}|0\rangle\langle 1|$ , con  $p \in [0, 1]$ .

a) Los operadores  $\{E_1, E_2\}$  satisfacen

$$\begin{aligned}\sum_{i=1,2} E_i^\dagger E_i &= E_1^\dagger E_1 + E_2^\dagger E_2 \\ &= |0\rangle\langle 0| + (1-p)|1\rangle\langle 1| + p|1\rangle\langle 0| + p|0\rangle\langle 1| \\ &= |0\rangle\langle 0| + (1-p)|1\rangle\langle 1| + p|1\rangle\langle 1| \\ &= |0\rangle\langle 0| + |1\rangle\langle 1| \\ &= \mathbb{1}\end{aligned}$$

para todo  $p \in [0, 1]$ , pero no se trata de operadores unitales, ya que

$$\begin{aligned}\sum_{i=1,2} E_i E_i^\dagger &= E_1 E_1^\dagger + E_2 E_2^\dagger \\ &= |0\rangle\langle 0| + (1-p)|1\rangle\langle 1| + p|0\rangle\langle 1| + p|1\rangle\langle 0| \\ &= |0\rangle\langle 0| + (1-p)|1\rangle\langle 1| + p|0\rangle\langle 0| \\ &= (1+p)|0\rangle\langle 0| + (1-p)|1\rangle\langle 1|,\end{aligned}$$

siendo iguales a la identidad  $\mathbb{1}$  si y solo si  $p = 0$ .

b) Como se ha demostrado en la práctica 1, un operador densidad  $\rho_A$  general de 1 qubit puede ser representado en términos de las matrices de Pauli como

$$\rho_A = \frac{1}{2}(\mathbb{1} + \mathbf{r} \cdot \boldsymbol{\sigma}).$$

Luego, la evolución del subsistema cuántico  $\rho_A$  dada por los operadores de Kraus  $E_1$  y  $E_2$  antes definidos resultará en

$$\rho'_A = E_1 \rho_A E_1^\dagger + E_2 \rho_A E_2^\dagger = E_1 \rho_A E_1 + E_2 \rho_A E_2^\dagger.$$

A continuación, evaluaremos individualmente los elementos de la sumatoria:

$$\begin{aligned}E_1 \rho_A E_1 &= \frac{1}{2} (E_1 E_1 + r_x E_1 \sigma_x E_1 + r_y E_1 \sigma_y E_1 + r_z E_1 \sigma_z E_1) \\ &= \frac{1}{2} \left( \begin{pmatrix} 1 & 0 \\ 0 & \sqrt{1-p} \end{pmatrix} \begin{pmatrix} 1 & 0 \\ 0 & \sqrt{1-p} \end{pmatrix} \right. \\ &\quad + r_x \begin{pmatrix} 1 & 0 \\ 0 & \sqrt{1-p} \end{pmatrix} \begin{pmatrix} 0 & 1 \\ 1 & 0 \end{pmatrix} \begin{pmatrix} 1 & 0 \\ 0 & \sqrt{1-p} \end{pmatrix} \\ &\quad + r_y \begin{pmatrix} 1 & 0 \\ 0 & \sqrt{1-p} \end{pmatrix} \begin{pmatrix} 0 & -i \\ i & 0 \end{pmatrix} \begin{pmatrix} 1 & 0 \\ 0 & \sqrt{1-p} \end{pmatrix} \\ &\quad \left. + r_z \begin{pmatrix} 1 & 0 \\ 0 & \sqrt{1-p} \end{pmatrix} \begin{pmatrix} 1 & 0 \\ 0 & -1 \end{pmatrix} \begin{pmatrix} 1 & 0 \\ 0 & \sqrt{1-p} \end{pmatrix} \right) \\ &= \frac{1}{2} \left( \begin{pmatrix} 1 & 0 \\ 0 & 1-p \end{pmatrix} \right. \\ &\quad + r_x \begin{pmatrix} 1 & 0 \\ 0 & \sqrt{1-p} \end{pmatrix} \begin{pmatrix} 0 & \sqrt{1-p} \\ 1 & 0 \end{pmatrix} \\ &\quad + i r_y \begin{pmatrix} 1 & 0 \\ 0 & \sqrt{1-p} \end{pmatrix} \begin{pmatrix} 0 & -\sqrt{1-p} \\ 1 & 0 \end{pmatrix} \\ &\quad \left. + r_z \begin{pmatrix} 1 & 0 \\ 0 & \sqrt{1-p} \end{pmatrix} \begin{pmatrix} 1 & 0 \\ 0 & -\sqrt{1-p} \end{pmatrix} \right) \\ &= \frac{1}{2} \left( \begin{pmatrix} 1 & 0 \\ 0 & 1-p \end{pmatrix} \right.\end{aligned}$$

$$\begin{aligned}
& +r_x \begin{pmatrix} 0 & \sqrt{1-p} \\ \sqrt{1-p} & 0 \end{pmatrix} \\
& +ir_y \begin{pmatrix} 0 & -\sqrt{1-p} \\ \sqrt{1-p} & 0 \end{pmatrix} \\
& +r_z \begin{pmatrix} 1 & 0 \\ 0 & -(1-p) \end{pmatrix} \\
& = \frac{1}{2} \begin{pmatrix} 1 & (r_x - ir_y)\sqrt{1-p} \\ (r_x + ir_y)\sqrt{1-p} & (1-r_z)(1-p) \end{pmatrix}, \\
E_2 \rho_A E_2 & = \frac{1}{2} \left( E_2 E_2^\dagger + r_x E_2 \sigma_x E_2^\dagger + r_y E_2 \sigma_y E_2^\dagger + r_z E_2 \sigma_z E_2^\dagger \right) \\
& = \frac{1}{2} \left( \begin{pmatrix} 0 & \sqrt{p} \\ 0 & 0 \end{pmatrix} \begin{pmatrix} 0 & 0 \\ \sqrt{p} & 0 \end{pmatrix} \right. \\
& \quad + r_x \begin{pmatrix} 0 & \sqrt{p} \\ 0 & 0 \end{pmatrix} \begin{pmatrix} 0 & 1 \\ 1 & 0 \end{pmatrix} \begin{pmatrix} 0 & 0 \\ \sqrt{p} & 0 \end{pmatrix} \\
& \quad + r_y \begin{pmatrix} 0 & \sqrt{p} \\ 0 & 0 \end{pmatrix} \begin{pmatrix} 0 & -i \\ i & 0 \end{pmatrix} \begin{pmatrix} 0 & 0 \\ \sqrt{p} & 0 \end{pmatrix} \\
& \quad \left. + r_z \begin{pmatrix} 0 & \sqrt{p} \\ 0 & 0 \end{pmatrix} \begin{pmatrix} 1 & 0 \\ 0 & -1 \end{pmatrix} \begin{pmatrix} 0 & 0 \\ \sqrt{p} & 0 \end{pmatrix} \right) \\
& = \frac{1}{2} \left( \begin{pmatrix} p & 0 \\ 0 & 0 \end{pmatrix} \right. \\
& \quad + r_x \begin{pmatrix} 0 & \sqrt{p} \\ 0 & 0 \end{pmatrix} \begin{pmatrix} \sqrt{p} & 0 \\ 0 & 0 \end{pmatrix} \\
& \quad + ir_y \begin{pmatrix} 0 & \sqrt{p} \\ 0 & 0 \end{pmatrix} \begin{pmatrix} \sqrt{p} & 0 \\ 0 & 0 \end{pmatrix} \\
& \quad \left. + r_z \begin{pmatrix} 0 & \sqrt{p} \\ 0 & 0 \end{pmatrix} \begin{pmatrix} 0 & 0 \\ -\sqrt{p} & 0 \end{pmatrix} \right) \\
& = \frac{1}{2} \left( \begin{pmatrix} p & 0 \\ 0 & 0 \end{pmatrix} + r_z \begin{pmatrix} -p & 0 \\ 0 & 0 \end{pmatrix} \right) \\
& = \frac{1}{2} \begin{pmatrix} (1-r_z)p & 0 \\ 0 & 0 \end{pmatrix}, \\
\Rightarrow \rho'_A & = \frac{1}{2} \begin{pmatrix} 1 & (r_x - ir_y)\sqrt{1-p} \\ (r_x + ir_y)\sqrt{1-p} & (1-r_z)(1-p) \end{pmatrix} + \frac{1}{2} \begin{pmatrix} (1-r_z)p & 0 \\ 0 & 0 \end{pmatrix} \\
& = \frac{1}{2} \begin{pmatrix} 1 + (1-r_z)p & (r_x - ir_y)\sqrt{1-p} \\ (r_x + ir_y)\sqrt{1-p} & (1-r_z)(1-p) \end{pmatrix}.
\end{aligned}$$

4. Consideremos un átomo de 2 niveles, con estados  $|0\rangle$  y  $|1\rangle$  de energías 0 y  $\varepsilon = \hbar\omega$  respectivamente, y estados de campo  $|0\rangle$  t  $|1\rangle = a_\omega^\dagger |0\rangle$ . Supondremos una evolución unitaria del sistema  $\rho_{AC} = \rho_{\text{Átomo}} \otimes \rho_{\text{Campo}}$  dada por

$$U_{AC} = \begin{pmatrix} 1 & 0 & 0 & 0 \\ 0 & \cos \theta & \sin \theta & 0 \\ 0 & -\sin \theta & \cos \theta & 0 \\ 0 & 0 & 0 & 1 \end{pmatrix}$$

en la base estándar. Supondremos que el campo se encuentra inicialmente en el estado  $\rho_C = |0\rangle\langle 0|$ . Luego, el estado evolucionado del sistema Átomo-Campo estará dado por

$$\rho'_{AC} = U_{AC} \rho_{AC} U_{AC}^\dagger = U_{AC} \begin{pmatrix} \rho_{00}^A & \rho_{01}^A \\ \rho_{10}^A & \rho_{11}^A \end{pmatrix} \otimes \begin{pmatrix} 1 & 0 \\ 0 & 0 \end{pmatrix} U_{AC}^\dagger = U_{AC} \begin{pmatrix} \rho_{00}^A & 0 & \rho_{01}^A & 0 \\ 0 & 0 & 00 & 0 \\ \rho_{10}^A & 0 & \rho_{11}^A & 0 \\ 0 & 0 & 0 & 0 \end{pmatrix} U_{AC}^\dagger$$

$$= \begin{pmatrix} \rho_{00}^A & \rho_{01}^A \sin \theta & \rho_{01}^A \cos \theta & 0 \\ \rho_{10}^A \sin \theta & \rho_{11}^A \sin^2 \theta & \rho_{11}^A \cos \theta \sin \theta & 0 \\ \rho_{10}^A \cos \theta & \rho_{11}^A \cos \theta \sin \theta & \rho_{11}^A \cos^2 \theta & 0 \\ 0 & 0 & 0 & 0 \end{pmatrix}$$

donde se ha evaluado el último producto en Mathematica.

El estado parcial evolucionado del Átomo se encuentra determinado por la traza parcial de  $\rho'_{AC}$ :

$$\rho'_A = \text{Tr}_B \rho'_{AC} = \begin{pmatrix} \rho_{00}^A + \rho_{11}^A \sin^2 \theta & \rho_{01}^A \cos \theta \\ \rho_{10}^A \cos \theta & \rho_{11}^A \cos^2 \theta \end{pmatrix}. \quad (3)$$

Escribiendo el operador de evolución como

$$\begin{aligned} U_{AC} &= |0\rangle\langle 0| \otimes |0\rangle\langle 0| + |1\rangle\langle 1| \otimes |1\rangle\langle 1| \\ &\quad + \cos \theta (|0\rangle\langle 0| \otimes |1\rangle\langle 1| + |1\rangle\langle 1| \otimes |0\rangle\langle 0|) \\ &\quad + \sin \theta (|0\rangle\langle 1| \otimes |1\rangle\langle 0| - |1\rangle\langle 0| \otimes |0\rangle\langle 1|), \end{aligned}$$

podemos calcular los operadores de Kraus asociados a la evolución parcial del Átomo

$$\begin{aligned} E_\alpha &= \langle \alpha |_C U_{AC} |0\rangle_C = |0\rangle\langle 0|_A \langle \alpha |0\rangle_C + \cos \theta |1\rangle\langle 1|_A \langle \alpha |0\rangle_C + \sin \theta |0\rangle\langle 1|_A \langle \alpha |1\rangle_C \\ \Rightarrow &\begin{cases} E_0 = |0\rangle\langle 0| + \cos \theta |1\rangle\langle 1| = \begin{pmatrix} 1 & 0 \\ 0 & \cos \theta \end{pmatrix}, \\ E_1 = \sin \theta |0\rangle\langle 1| = \begin{pmatrix} 0 & \sin \theta \\ 0 & 0 \end{pmatrix}. \end{cases} \end{aligned}$$

Luego, recuperamos la expresión (3) mediante

$$\begin{aligned} \rho'_A &= E_0 \rho_A E_0^\dagger + E_1 \rho_A E_1^\dagger \\ &= \begin{pmatrix} 1 & 0 \\ 0 & \cos \theta \end{pmatrix} \begin{pmatrix} \rho_{00}^A & \rho_{01}^A \\ \rho_{10}^A & \rho_{11}^A \end{pmatrix} \begin{pmatrix} 1 & 0 \\ 0 & \cos \theta \end{pmatrix} + \begin{pmatrix} 0 & \sin \theta \\ 0 & 0 \end{pmatrix} \begin{pmatrix} \rho_{00}^A & \rho_{01}^A \\ \rho_{10}^A & \rho_{11}^A \end{pmatrix} \begin{pmatrix} 0 & 0 \\ \sin \theta & 0 \end{pmatrix} \\ &= \begin{pmatrix} 1 & 0 \\ 0 & \cos \theta \end{pmatrix} \begin{pmatrix} \rho_{00}^A & \rho_{01}^A \cos \theta \\ \rho_{10}^A & \rho_{11}^A \cos \theta \end{pmatrix} + \begin{pmatrix} 0 & \sin \theta \\ 0 & 0 \end{pmatrix} \begin{pmatrix} \rho_{01}^A \sin \theta & 0 \\ \rho_{11}^A \sin \theta & 0 \end{pmatrix} \\ &= \begin{pmatrix} \rho_{00}^A & \rho_{01}^A \cos \theta \\ \rho_{10}^A \cos \theta & \rho_{11}^A \cos^2 \theta \end{pmatrix} + \begin{pmatrix} \rho_{11}^A \sin^2 \theta & 0 \\ 0 & 0 \end{pmatrix} \\ &= \begin{pmatrix} \rho_{00}^A + \rho_{11}^A \sin^2 \theta & \rho_{01}^A \cos \theta \\ \rho_{10}^A \cos \theta & \rho_{11}^A \cos^2 \theta \end{pmatrix}. \end{aligned}$$

Parar  $\rho_A = p_0 |0\rangle\langle 0| + p_1 |1\rangle\langle 1| = p_0 |0\rangle\langle 0| + (1 - p_0) |1\rangle\langle 1|$ , el estado evolucionado será

$$\rho'_A = \begin{pmatrix} p_0 + p_1 \sin^2 \theta & 0 \\ 0 & p_1 \cos^2 \theta \end{pmatrix} = \begin{pmatrix} p_0 + (1 - p_0) \sin^2 \theta & 0 \\ 0 & (1 - p_0) \cos^2 \theta \end{pmatrix}.$$

El Hamiltoniano asociado a este proceso será

$$\begin{aligned} H_{AC} &= \varepsilon (|1_A 0_C\rangle\langle 1_A 0_C| + |0_A 1_C\rangle\langle 0_A 1_C|) + \frac{g}{2} (|0_A 1_C\rangle\langle 1_A 0_C| + |1_A 0_C\rangle\langle 0_A 1_C|) \\ &= \begin{pmatrix} 0 & 0 & 0 & 0 \\ 0 & \varepsilon & \frac{g}{2} & 0 \\ 0 & \frac{g}{2} & \varepsilon & 0 \\ 0 & 0 & 0 & 0 \end{pmatrix} \end{aligned}$$

Encontramos la relación entre constantes exponenciando  $H$ , observando que

$$U = e^{-iHt} = \begin{pmatrix} 1 & 0 & 0 & 0 \\ 0 & e^{-i\epsilon t} \cos\left(\frac{gt}{2}\right) & -ie^{-i\epsilon t} \sin\left(\frac{gt}{2}\right) & 0 \\ 0 & -ie^{-i\epsilon t} \sin\left(\frac{gt}{2}\right) & e^{-i\epsilon t} \cos\left(\frac{gt}{2}\right) & 0 \\ 0 & 0 & 0 & 0 \end{pmatrix}.$$

Luego, las dos condiciones serán

$$\frac{gt}{2} = \theta, \quad t\epsilon = 2k\pi, \quad k \in \mathbb{C}.$$

## 2. Algoritmo de Búsqueda de Grover

1. Consideremos el estado buscado  $|B\rangle = \frac{1}{\sqrt{M}} \sum_{f(j)=1} |j\rangle$  -donde  $M$  denota el número de estados  $|j\rangle$  tal que  $f(j) = 1$ -, y el estado ortogonal  $|A\rangle = \frac{1}{\sqrt{N-M}} \sum_{f(j)=0} |j\rangle$ . Supongamos que el sistema de  $n$  qubits, con  $N = 2^n$ , se encuentra inicialmente en el estado

$$|\Phi\rangle = H^{\otimes n} |0\rangle = \frac{1}{\sqrt{N}} \sum_j |j\rangle = \sqrt{\frac{M}{N}} |B\rangle + \sqrt{\frac{N-M}{N}} |A\rangle.$$

Sea  $O$  un oráculo, definido por  $O|j\rangle = (-1)^{f(j)} |j\rangle$ , y el operador de Grover  $G = (2|\Phi\rangle\langle\Phi| - \mathbb{1})O$ . Escribiendo el estado inicial del sistema como

$$|\Phi\rangle = \sin\theta |B\rangle + \cos\theta |A\rangle,$$

con  $\sin\theta = \sqrt{M/N}$ , entonces podemos identificar el accionar del oráculo  $O$  como una reflexión en el eje  $|A\rangle$ , ya que

$$O|\Phi\rangle = \sin\theta O|B\rangle + \cos\theta O|A\rangle = -\sin\theta O|B\rangle + \cos\theta O|A\rangle = \sin(-\theta)|B\rangle + \cos(-\theta)|A\rangle.$$

Más aún, si  $|\Phi_\perp\rangle$  denota el subespacio ortogonal a  $|\Phi\rangle$ , entonces

$$(2|\Phi\rangle\langle\Phi| - \mathbb{1})|\Phi\rangle = |\Phi\rangle, \quad (2|\Phi\rangle\langle\Phi| - \mathbb{1})|\Phi_\perp\rangle = -|\Phi_\perp\rangle,$$

constituyendo una reflexión respecto a  $|\Phi\rangle$ . Por lo tanto, el operador de Grover sobre  $|\Phi\rangle$  representará una rotación en un ángulo  $2\theta$ , como podemos apreciar en el diagrama representado en la fig. 1.

Luego de  $k$  iteraciones de la aplicación de  $G$ , el estado resultante será

$$G^k |\Phi\rangle = \sin(\theta + k 2\theta) |B\rangle + \cos(\theta + k 2\theta) |A\rangle.$$

Para alcanzar el estado buscado,  $G^k |\Phi\rangle = |B\rangle$ , por lo que

$$\theta + 2k\theta = \theta(1 + 2k) = \frac{\pi}{2} \implies k = \frac{\pi}{4\theta} - \frac{1}{2}.$$

Bajo la suposición  $\theta \ll 1$ ,  $\theta \approx \sin\theta = \sqrt{\frac{M}{N}}$ . Por lo tanto,

$$k \approx \sqrt{\frac{N}{M}} \frac{\pi}{4} - \frac{1}{2} \sim \mathcal{O}(\sqrt{N}).$$

2. Si  $H = \hbar\omega(|B\rangle\langle B| + |\Phi\rangle\langle\Phi|)$ , es posible generar un operador de evolución unitaria del sistema tal que  $U|\Phi\rangle = \exp\{-iHt/\hbar\}|\Phi\rangle = |B\rangle$ , es decir, tal que obtengamos el estado buscado  $|B\rangle$  en un solo paso. En la base de los estados  $\{|B\rangle, |A\rangle\}$ ,

$$|\Phi\rangle = \alpha|B\rangle + \beta|A\rangle \implies |\Phi\rangle\langle\Phi| = \begin{pmatrix} \alpha^2 & \alpha\beta \\ \alpha\beta & \beta^2 \end{pmatrix},$$

por lo que entonces el Hamiltoniano enunciado podrá ser representado matricialmente como

$$\begin{aligned} H &= \hbar\omega(|B\rangle\langle B| + |\Phi\rangle\langle\Phi|) = \hbar\omega \left[ \begin{pmatrix} \alpha^2 & \alpha\beta \\ \alpha\beta & \beta^2 \end{pmatrix} + \begin{pmatrix} 1 & 0 \\ 0 & 0 \end{pmatrix} \right] \\ &= \hbar\omega \begin{pmatrix} 1 + \alpha^2 & \alpha\beta \\ \alpha\beta & \beta^2 \end{pmatrix} \\ &= \hbar\omega \begin{pmatrix} 1 + \alpha^2 & \alpha\beta \\ \alpha\beta & 1 - \alpha^2 \end{pmatrix} \end{aligned}$$

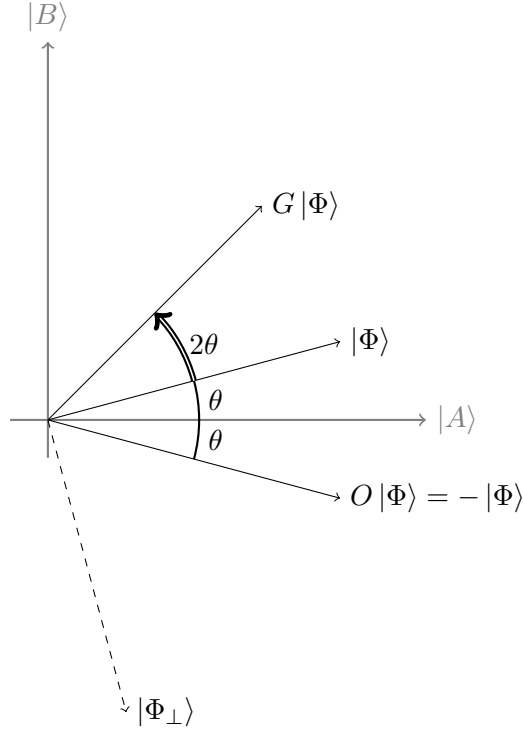


Figura 1: Representación gráfica del accionar de una iteración del operador de Grover.

$$\begin{aligned}
 &= \hbar\omega \left[ \mathbb{1} + \begin{pmatrix} \alpha^2 & \alpha\beta \\ \alpha\beta & -\alpha^2 \end{pmatrix} \right] \\
 &= \hbar\omega \left[ \mathbb{1} + \alpha^2 \sigma_z + \alpha\beta \sigma_x \right]. \quad = \hbar\omega \mathbb{1} + \hbar\omega \alpha [\beta \sigma_x + \alpha \sigma_z].
 \end{aligned}$$

Luego, utilizando los resultados obtenidos para un operador de rotación en la práctica 3,

$$U = e^{\frac{-iHt}{\hbar}} = e^{-i\omega t} [\cos(\omega\alpha t) \mathbb{1} - i \sin(\omega\alpha t) (\beta \sigma_x + \alpha \sigma_z)].$$

Ahora, estudiando la evolución temporal particular del estado inicial  $|\Phi\rangle$ , e ignorando la fase global  $e^{-i\omega t}$ ,

$$U |\Phi\rangle \sim \cos(\omega\alpha t) |\Phi\rangle - i \sin(\omega\alpha t) (\beta \sigma_x + \alpha \sigma_z) |\Phi\rangle.$$

Evaluando el producto final de matrices,

$$(\beta \sigma_x + \alpha \sigma_z) |\Phi\rangle \equiv \begin{pmatrix} \alpha & \beta \\ \beta & -\alpha \end{pmatrix} \begin{pmatrix} \alpha \\ \beta \end{pmatrix} = \begin{pmatrix} \alpha^2 + \beta^2 \\ \beta\alpha - \alpha\beta \end{pmatrix} = \begin{pmatrix} 1 \\ 0 \end{pmatrix} \equiv |B\rangle,$$

entonces

$$U |\Phi\rangle \sim \cos(\omega\alpha t) |\Phi\rangle - i \sin(\omega\alpha t) |B\rangle.$$

Por lo tanto, para que resulte en el estado deseado  $|B\rangle$ ,

$$\omega\alpha t = \frac{\pi}{2} \implies t = \frac{\pi}{2\omega\alpha}.$$

El problema de búsqueda se reduce entonces al problema de simular el Hamiltoniano  $H$ , siguiendo el algoritmo de Trotter:

$$\begin{aligned}
 U = e^{\frac{-iHt}{\hbar}} &= \left( e^{\frac{-iHt}{\hbar k}} \right)^k \approx \left( e^{-i\omega\alpha \frac{t}{k}} |\Phi\rangle\langle\Phi| e^{-i\omega\alpha \frac{t}{k}} |B\rangle\langle B| \right)^k, \quad k \gg 1. \\
 &\implies k \sim \mathcal{O}(N).
 \end{aligned}$$